



تأثیر نرخ نمونه‌برداری در الگوریتم‌های محاسبه امپدانس در رله‌های دیستانس دیجیتال

فرزاد رضوی	رضه محمدی	سید ابراهیم افجهای	حسین عسکریان اییانه	حسین ترکمن
دانشکده برق دانشگاه				
امیرکبیر	امیرکبیر	شهید بهشتی	امیرکبیر	شهید بهشتی

بحث می‌باشد. در این قسمت یک موازنۀ وجود دارد، بدین مفهوم که با بالا بردن تعداد نقاط نمونه‌برداری دقت بالاتری بدست می‌آید. ولی آنچه مسلم است فضای بیشتری برای ذخیره این نقاط نمونه‌برداری لازم است. از جهتی با بالابردن تعداد نقاط نمونه‌برداری سرعت سیستم کاهش پیدا می‌کند و همچنین تعداد ضربه‌ایی که در محاسبات وجود دارد باعث کند شدن در محاسبه پارامترهای خروجی می‌شود. پس بدست آوردن تعداد نرخ نمونه‌برداری بسیار حائز اهمیت است.

در مقاله [1] به بررسی روش‌های محاسبه امپدانس از جهت پاسخ فرکانسی پرداخته است، در این مقاله برای محاسبات نرخ نمونه‌برداری ثابتی را در نظر گرفته است و مقایسه‌ای بر روی نرخ نمونه‌برداری‌های مختلف نکرده است.

در مقالات [2]، [3] و [4] نمونه‌ای عملی از روش حداقل مربعات را بر روی یک سیستم واقعی تست شده است. که به بررسی الگوریتم‌ها پرداخته شده است و لی مطالعه دقیق بر روی نرخ نمونه‌برداری نشده است و از نرخ نمونه‌برداری ثابتی استفاده شده است.

در این مقاله ۶ روش موجود از روش‌های محاسبه امپدانس در رله‌های دیستانس، از لحاظ تعداد نقاط نمونه‌برداری مورد بررسی قرار می‌گیرند و در نهایت تعداد نقاط نمونه‌برداری بهینه برای داشتن بهترین حالت محاسبه امپدانس با دقت و سرعت بالا بدست آمده است.

تمامی روش‌های مورد بررسی، بر روی یک شبکه استاندارد تست شده و نتایج دقیقی از این مطالعه برای بدست آوردن تعداد نرخ نمونه‌برداری بهینه بدست آمده است.

۲) تئوری محاسبه امپدانس

در این بخش ابتدا الگوریتم اصلی برای محاسبه امپدانس توسط روش‌های مورد بحث بیان شده است و ۶ روش

خلاصه

محاسبه امپدانس در رله‌های دیستانس دیجیتال، با توجه به امکانات میکروروسوری که برای محاسبات فراهم شده است، به روش‌های مختلفی انجام می‌گیرد. یکی از پارامترهای خیلی مهم در این محاسبات، نرخ نمونه‌برداری در یک سیکل می‌باشد.

در این مقاله به بررسی تأثیر نرخ نمونه‌برداری در الگوریتم‌های محاسبه امپدانس در رله‌های دیستانس دیجیتال در حفاظت شبکه‌های قدرت پرداخته شده است. به گونه‌ای که در این مقاله الگوریتم‌های مهمی همچون فوریه تمام‌سیکل، فوریه نیم‌سیکل، مان‌موریسون، حداقل مربعات، حداقل مربعات با حذف مقدار DC و پرودار ۷۰ برای محاسبه امپدانس در نرم‌افزار PSCAD طراحی و پیاده‌سازی شده‌اند و تأثیر نرخ نمونه‌برداری در محاسبه امپدانس برای هر یک از این روش‌ها بررسی شده است و بهترین حالات نمونه‌برداری برای هریک از روش‌ها با استفاده از شبیه سازی بدست آمده است.

کلمات کلیدی: حفاظت شبکه‌های قدرت- محاسبه امپدانس- رله دیستانس- نرخ نمونه‌برداری

۱) مقدمه

در شبکه قدرت، خطوط انتقال یکی از مهمترین بخش‌های سیستم قدرت می‌باشد، که برای حفاظت آن رله‌های دیستانس یکی از ارکان اصلی می‌باشد. پارامترهای مختلفی در رله دیستانس وجود دارد که مهمترین آنها دقت و سرعت در محاسبه امپدانس خط می‌باشد. برای بررسی این پارامترها موضوعی که باید بررسی شود، نرخ نمونه‌برداری در محاسبه امپدانس در روش‌های موجود می‌باشد که این موضوع از سه جهت حافظه موردنیاز، سرعت موردنیاز و دقت موردنیاز قابل



فوریه محاسبه می‌گردد [1]. با توجه به نمونه‌برداری N نمونه در یک سیکل کامل و براساس رابطه زیر دامنه و زاویه هارمونیک اصلی محاسبه می‌شود:

$$\begin{cases} V_{real} = \frac{2}{N} \sum_{k=1}^N \left[V_k \cos\left(2\pi \frac{N-k}{N}\right) \right] \\ V_{imag} = \frac{2}{N} \sum_{k=1}^N \left[V_k \sin\left(2\pi \frac{N-k}{N}\right) \right] \\ \theta = \tan^{-1}\left(\frac{V_{imag}}{V_{real}}\right) \end{cases} \quad (3)$$

که در این رابطه N نمونه، شامل نمونه‌های قبل و بعد از خطای باشد. در این رابطه به جهت نوع شماره‌گذاری نمونه‌ها $N - k$ نوشته شده است.

۲-۲) روش فوریه نیم‌سیکل

روش فوریه نیم‌سیکل ($H - FFT$)¹، در یک نیم‌سیکل نمونه‌های موج را اندازه‌گیری می‌نماید و فرض نموده که نیم‌سیکل دوم متناظر با این نیم‌سیکل است. سپس فوریه را محاسبه می‌نماید. این بدان معنا است که می‌توان فوریه تمام‌سیکل را در ۲ ضرب کرد [1]. در این روش با توجه به نمونه‌برداری N نمونه در یک سیکل و براساس رابطه زیر دامنه و زاویه هارمونیک اصلی محاسبه می‌شود:

$$\begin{cases} V_{real} = \frac{4}{N} \sum_{k=1}^{\frac{N}{2}} \left[V_k \cos\left(2\pi \frac{N-k}{N}\right) \right] \\ V_{imag} = \frac{4}{N} \sum_{k=1}^{\frac{N}{2}} \left[V_k \sin\left(2\pi \frac{N-k}{N}\right) \right] \\ \theta = \tan^{-1}\left(\frac{V_{imag}}{V_{real}}\right) \end{cases} \quad (4)$$

این N نمونه شامل نمونه‌های قبل و بعد از خطای باشد.

۳-۲) روش حداقل مربعات

در روش حداقل مربعات یا همان روش (LS)² همواره از سیگنال‌ها نمونه‌برداری می‌شود. پس از اینکه حضور خطای در سیستم مشخص گردید، نمونه‌های خطای دریافت می‌گردد [2] و با توجه به N نمونه در یک سیکل و براساس رابطه زیر دامنه و زاویه هارمونیک اصلی محاسبه می‌شود:

موجود برای محاسبه امپدانس رله دیستانس مورد بررسی قرار گرفته‌اند که در رابطه‌های هر کدام از روش‌ها وابستگی هر الگوریتم به تعداد نقاط نمونه‌برداری بیان شده است.

برای پیاده‌سازی الگوریتم روش‌های مختلف، گام‌های پایه‌ای زیر برای محاسبه امپدانس پیاده سازی شده است:

(۱) با توجه به روش مقایسه، نوع و زمان خطای بوجود آمده در خط تشخیص داده می‌شود.

(۲) با استفاده از یکی از این ۶ روش، دامنه ولتاژها و جریان‌های فازها و همچنین زاویه آن‌ها بدست آورده می‌شود.

(۳) به کمک سه رابطه زیر امپدانس خطای فازی محاسبه می‌شود:

$$Z_A = \frac{V_{AN}}{I_A + kI_o}, Z_B = \frac{V_{BN}}{I_B + kI_o}, Z_C = \frac{V_{CN}}{I_C + kI_o} \quad (1)$$

که در رابطه بالا، ولتاژها مقادیر ولتاژهای خط نسبت به زمین می‌باشند و k ضریب جبرانساز رله و I_o جریان توالی صفر می‌باشد.

(۴) با وجود سه رابطه زیر امپدانس خطای فاز به فاز محاسبه می‌شود:

$$Z_{AB} = \frac{V_A - V_B}{I_A - I_B}, Z_{AC} = \frac{V_A - V_C}{I_A - I_C}, Z_{BC} = \frac{V_B - V_C}{I_B - I_C} \quad (2)$$

برای تکمیل کردن الگوریتم بالا باید توضیح داده شود که در هر روش چگونه دامنه و زاویه ولتاژ و جریان بدست می‌آید. برای این منظور فرض می‌شود یک شکل موج از ورودی معلوم باشد. در هر کدام از این روش‌ها طریقه محاسبه دامنه و زاویه بیان می‌شود. برای اینکه تمامی این روش‌ها از نظر تعداد نمونه‌برداری با هم مقایسه گردد، در نظر گرفته می‌شود که تعداد نمونه‌برداری برابر N نمونه در یک دوره تناوب می‌باشد. ضمناً فرض می‌شود که A_k نمونه موج در زمان $\frac{kT}{N} - t$ باشد. این بدان معنی است که نمونه اول، نمونه در زمان حال محسوب می‌شود. حال به تصوری هر یک از روش‌ها پرداخته می‌شود:

۲-۱) روش فوریه تمام‌سیکل

در روش فوریه تمام‌سیکل یا همان روش (FFT)³ در یک سیکل کامل، نمونه‌های موج اندازه‌گیری می‌شود و سپس

Half Cycle Fast Fourier Transform²
Least Square³

Fast Fourier Transform¹



در رابطه بالا M تعداد نمونه‌ها بعد از خطای باشد و C_k, D_k از رابطه زیر بدست می‌آید:

$$\begin{bmatrix} C \\ D \\ X \\ X \end{bmatrix} = \begin{bmatrix} C_1 & C_2 & C_3 & C_4 & \dots & C_{M-1} & C_M \\ D_1 & D_2 & D_3 & D_4 & \dots & D_{M-1} & D_M \\ X & X & X & X & \dots & X & X \\ X & X & X & X & \dots & X & X \end{bmatrix} \rightarrow (9)$$

$= \text{Inverse}(A^T \cdot A) \cdot A^T$

در رابطه بالا درایه‌هایی که با X نمایش داده شده‌اند، درایه‌های غیرمهم هستند که احتیاجی به محاسبه ندارند و A برابر ماتریس زیر است:

(10)

$$A = \begin{bmatrix} \cos\left(-2\pi \frac{1}{N}\right) & \sin\left(-2\pi \frac{1}{N}\right) & 1 & \frac{1}{f \cdot N} \\ \cos\left(-2\pi \frac{2}{N}\right) & \sin\left(-2\pi \frac{2}{N}\right) & 1 & \frac{2}{f \cdot N} \\ \cos\left(-2\pi \frac{3}{N}\right) & \sin\left(-2\pi \frac{3}{N}\right) & 1 & \frac{3}{f \cdot N} \\ \vdots & \vdots & \vdots & \vdots \\ \cos\left(-2\pi \frac{M-1}{N}\right) & \cos\left(-2\pi \frac{M-1}{N}\right) & 1 & \frac{M-1}{f \cdot N} \\ \cos\left(-2\pi \frac{M}{N}\right) & \cos\left(-2\pi \frac{M}{N}\right) & 1 & \frac{M-1}{f \cdot N} \end{bmatrix}$$

در رابطه بدست آمده برای ماتریس A ، f فرکانس موج اصلی می‌باشد. در این روش نیز از یک سیکل به بعد، یعنی از وقتی که M از N بزرگتر شد، M برابر N می‌باشد.

۵-۲ مانموریسون

روش مانموریسون¹ مقدار امپدانس را تا ۳ نمونه بعد از خطای محاسبه می‌کند. بدین صورت که با فرمولهای زیر امپدانس را با این ۳ نمونه محاسبه می‌کند [5]. سپس بین امپدانسهای بدست آمده از ۳ نمونه آخر و نمونه‌های قبل میانگین می‌گیرد.

$$\begin{cases} V_{real} = V_r \\ V_{imag} = \frac{V_i - V_r}{2\left(\frac{2\pi}{N}\right)} \\ \theta = \tan^{-1}\left(\frac{V_{imag}}{V_{real}}\right) \end{cases} \quad (11)$$

$$\begin{cases} V_{real} = \sum_{k=1}^M [V_k C_k] \\ V_{imag} = \sum_{k=1}^M [V_k S_k] \\ \theta = \tan^{-1}\left(\frac{V_{imag}}{V_{real}}\right) \end{cases} \quad (5)$$

$$\begin{cases} C \\ D \end{cases} = \begin{bmatrix} C_1 & C_2 & C_3 & C_4 & \dots & C_{M-1} & C_M \\ D_1 & D_2 & D_3 & D_4 & \dots & D_{M-1} & D_M \end{bmatrix} \rightarrow (6)$$

$= \text{Inverse}(A^T \cdot A) \cdot A^T$

که در رابطه بالا A برابر ماتریس زیر است:

$$A = \begin{bmatrix} \cos\left(-2\pi \frac{1}{N}\right) & \sin\left(-2\pi \frac{1}{N}\right) \\ \cos\left(-2\pi \frac{2}{N}\right) & \sin\left(-2\pi \frac{2}{N}\right) \\ \cos\left(-2\pi \frac{3}{N}\right) & \sin\left(-2\pi \frac{3}{N}\right) \\ \vdots & \vdots \\ \cos\left(-2\pi \frac{M-1}{N}\right) & \cos\left(-2\pi \frac{M-1}{N}\right) \\ \cos\left(-2\pi \frac{M}{N}\right) & \cos\left(-2\pi \frac{M}{N}\right) \end{bmatrix} \quad (7)$$

در روش حداقل مربعات، از یک سیکل به بعد، یعنی از وقتی که M از N بزرگتر شد، M برابر N می‌شود. بطوریکه از مقدار $M = N$ به بعد، مقدار خروجی روش‌های حداقل مربعات و فوریه تمام‌سیکل با هم برابر می‌شوند. در واقع فوریه تمام‌سیکل را می‌توان از روش حداقل مربعات با مقدار $M = N$ استنتاج نمود.

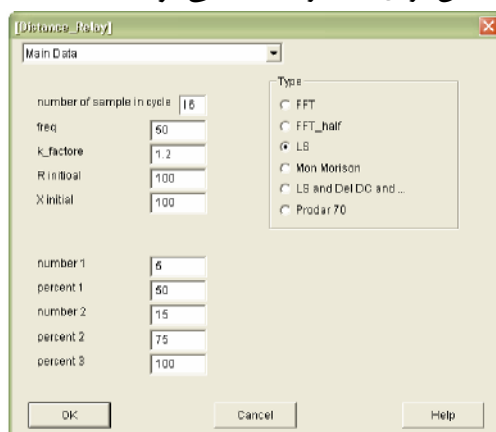
۴-۲ روش حداقل مربعات با حذف مقدار DC

این روش همانند روش حداقل مربعات می‌باشد با این فرض که مقدار DC موجود در نمونه‌ها را حذف نموده و سپس مقادیر دامنه و فاز را محاسبه می‌نماید [3] و [4]. به‌گونه‌ای که با توجه به N نمونه در یک سیکل و براساس رابطه زیر دامنه و زاویه هارمونیک اصلی محاسبه می‌شود:

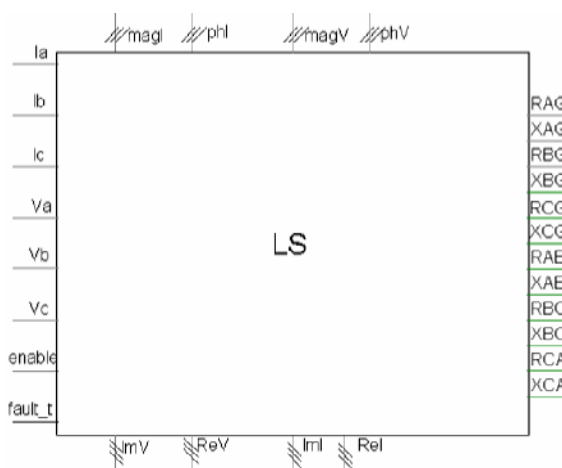
$$\begin{cases} V_{real} = \sum_{k=1}^M [V_k C_k] \\ V_{imag} = \sum_{k=1}^M [V_k S_k] \\ \theta = \tan^{-1}\left(\frac{V_{imag}}{V_{real}}\right) \end{cases} \quad (8)$$



خطا وجود ندارد و همچنین زمان رخداد خطا می‌توان دامنه، زاویه و بخش حقیقی و موهومی جریان و ولتاژ و امپدانس را با روش انتخاب شده بدست آورد. همچنین در این بلوک چند پارامتر دیگر مشخص است. در روشهای محاسبه امپدانس به کمک پنجره متغیر (مان‌موریسون، حداقل مربعات، حداقل مربعات با حذف DC و پرودار ۷۰) نمونه‌های بعد از خط استفاده می‌شود. چون استفاده از چند نمونه اول خطای بالایی برای امپدانس ایجاد می‌نماید، عموماً امپدانس بدست آمده را به عددی از ۰ تا ۱ تقسیم می‌کنند. این عدد عموماً بصورت درصد بیان می‌شود. به فرض مثال این ضریب برای ۵ نمونه اول ۵۰٪ و برای ۱۵ نمونه بعدی ۷۵٪ می‌باشد، همچنین برای مقادیر بعد از آن ۱۰۰٪ است. اینکار باعث کمتر شدن احتمال خطای رله دیستانس برای عملکرد اشتباہ می‌شود.



الف:



ب:

شکل ۱: بلوک محاسبه امپدانس طراحی شده در نرم‌افزار PSCAD

در میانگین‌گیری، از یک سیکل به بعد، فقط بین امپدانس‌های N تای آخر میانگین‌گیری می‌شود.

۷-۲ پرودار ۷۰

در روش پرودار ۷۰ تصمیم‌گیری بر اساس سه نمونه می‌باشد و برای محاسبه امپدانس از مشتق اول و دوم شکل موج استفاده می‌نماید [6]. بطوریکه با توجه به N نمونه در یک سیکل و بر اساس رابطه زیر دامنه و زاویه هارمونیک اصلی محاسبه می‌شود:

$$\left\{ \begin{array}{l} V_{real} = (f \cdot N)^{\frac{1}{2}} (V_{n+1} - 2V_n + V_{n-1}) \\ V_{imag} = \frac{(f \cdot N)}{2} (V_{n+1} - V_{n-1}) \\ \theta = \tan^{-1} \left(\frac{V_{imag}}{V_{real}} \right) \end{array} \right. \quad (12)$$

۳) پیاده سازی روشهای محاسبه امپدانس

در این مقاله با استفاده از روشهای معرفی شده در قسمت قبل به پیاده سازی روشهای پرداخته شده است. برای اینکه این روابط در مطالعه سیستم قدرت مورد استفاده قرار گیرند از نرم‌افزار PSCAD استفاده شده است. علت استفاده از نرم‌افزار PSCAD بجای نرم‌افزارهای مشابه این است که تعریف بلوک‌های جدید در این نرم‌افزار بسیار ساده است، بطوریکه که می‌توان هر بلوکی را با قابلیت‌های موردنظر و با تعداد دلخواه، ورودی و خروجی طراحی نموده و برنامه‌نویسی کرد. همچنین این نرم‌افزار از قابلیت‌های برنامه‌نویسی در محیط فرتون استفاده می‌نماید. از آنجائیکه روابط حاکم بر این روشهای کمی پیچیده می‌باشد، ساختن بلوک متناسب با آن در نرم‌افزار PSCAD محیط را برای مطالعه سریع و آسان فراهم می‌آورد. از این رو برای محاسبه امپدانس و پیاده‌سازی روشهای بلوکی به صورت شکل ۱ در PSCAD طراحی شده است. روند پیاده‌سازی برنامه به گونه زیر می‌باشد:

ابتداً با توجه به انتخاب نوع الگوریتم، با تعیین تعداد نمونه‌برداری از ورودی در یک سیکل، تعیین فرکانس مدار، ضریب k و وارد کردن امپدانس و ادمیتانس در موقعی که



انجمن مهندسین برق و الکترونیک ایران
شاخه‌ی تهران

the اولین کنفرانس 1st PSPC Power System Protection & Control conference Dec 20, 21th 2006

۸۵ و ۳۰ آذر ۱۳۹۶

حفاظت و کنترل سیستم‌های قدرت



دانشگاه صنعتی امیرکبیر
قطب علمی قدرت

برای اینکه این مقایسه‌ها قابل بررسی باشد، کلیه خروجی‌ها برای ۱۶، ۳۲، ۶۴، ۱۰۰، ۱۲۸، ۲۰۰، ۲۵۶، ۳۰۰، ۴۰۰ و ۵۰۰ نمونه برای روش‌های مختلف از خروجی ۵۱۲ نمونه‌ای روش حداقل مربعات با حذف DC کم شده تا خطای ایجاد شده نسبت به حالتی که ۵۱۲ نمونه باشد بررسی شود. در زیر خطای خروجی امپادانس برای ۱۶، ۱۲۸، ۲۵۶ نمونه نسبت به ۵۱۲ نمونه و مقدار خروجی برای ۵۱۲ نمونه برای سه روش فوریه تمام‌سیکل، حداقل مربعات و مان‌موریسون بدست آمده است.

از نمودارهای شکل ۳ معلوم می‌شود که در هر روش چند نوع خطا وجود دارد. برای بررسی دقیق‌تر احتیاج به تعریف چند نوع خطا داریم.

۱-۳) شبیه‌سازی و نتایج برنامه

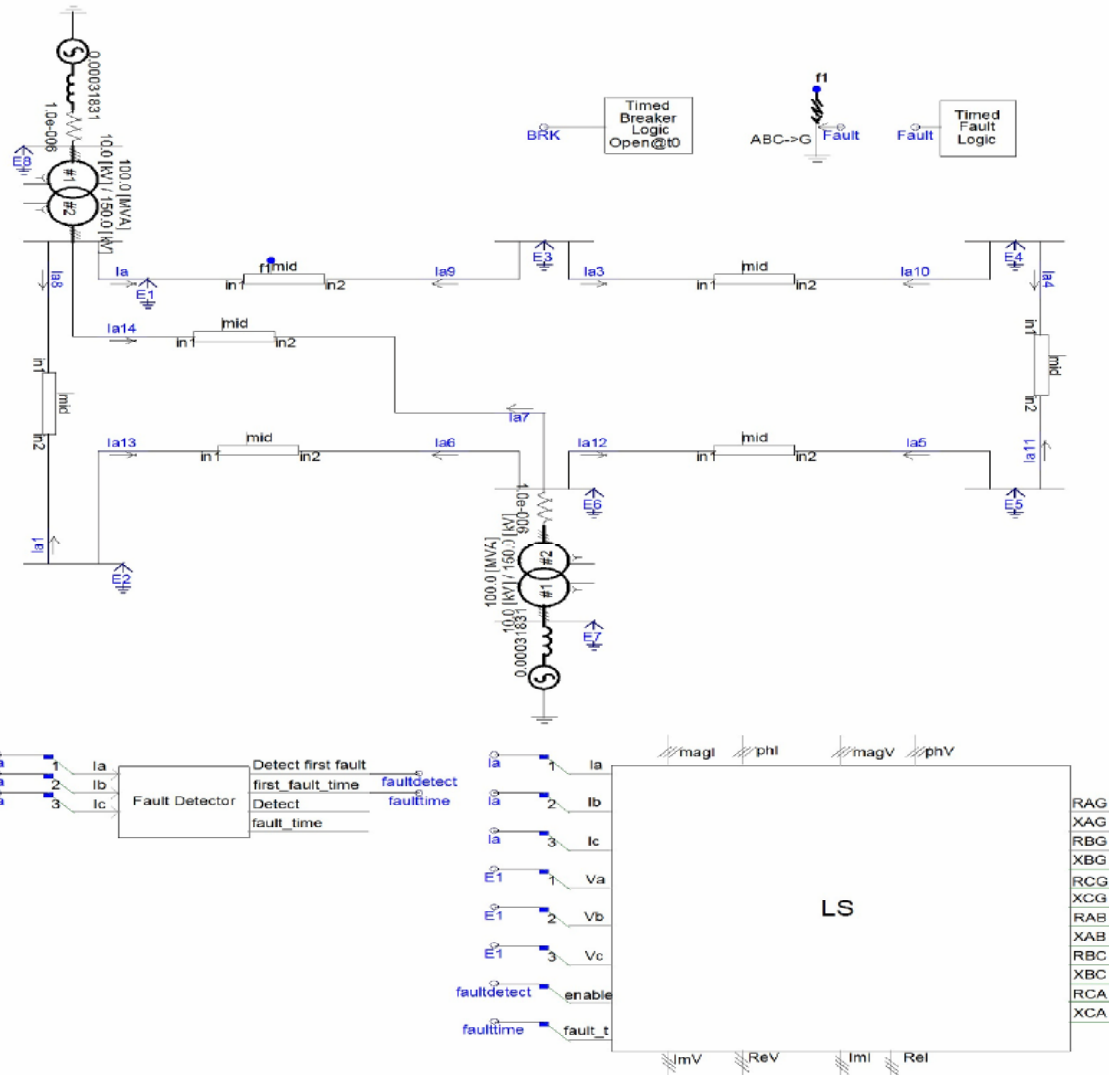
برای بدست آوردن سیگنال‌های واقعی خطا و هر چه واقعی‌تر شدن نتایج، از شبکه قدرت استاندارد IEEE هشت بس، به صورت شکل ۲ استفاده شده است.

در این مدار برای شبیه‌سازی خطا بوجود آمده در شبکه، یک بلوک آشکارساز خطا^۱ طراحی شده است. روند کار این آشکارساز خطا بدین صورت است که از روش مقایسه میانگین دامنه‌های سه جریان در هر لحظه با میانگین دامنه‌های جریان در یک سیکل قبل، زمان خطا را تشخیص می‌دهد. در این مدار برای کارکرد و شبیه‌سازی، یک خطای تکفاز در لحظه ۰, ۱ ثانیه پیش می‌آید. برای مقایسه، خروجی‌های انواع روش‌ها برای ۱۶، ۳۲، ۶۴، ۱۰۰، ۱۲۸، ۲۰۰، ۲۵۶، ۳۰۰، ۴۰۰ و ۵۱۲ نمونه شبیه‌سازی شده است.

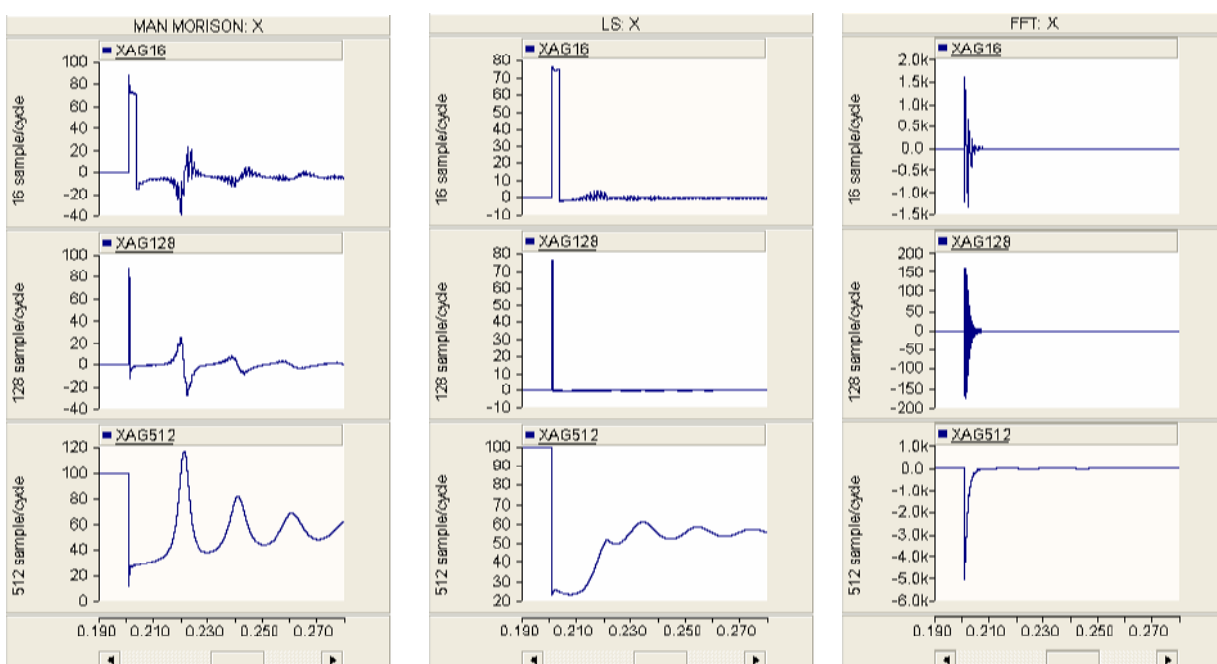


انجمن مهندسین برق و الکترونیک ایران
شاخه‌ی تهران

حفاظت و کنترل سیستم‌های قدرت



شکل ۲: مدار مربوط به پیدا‌سازی بلوك محاسبه امپانس بهمراه یک شبکه قدرت استاندارد IEEE هشت باس



شکل ۳: خروجی امپانس با نمونه‌های مختلف برای روش‌های مان‌موریسون، حداقل مرتعات، فوریه تمام‌سیکل



۴) تحلیل نتایج

همانطور که از نتایج حاصل از شبیه‌سازی بر می‌آید برای هر روش، ۳ نوع خطا در فاصله‌های زمانی متعدد تعریف شده است. بطوريکه در روش فوریه تمام‌سیکل در حالت قبل از رخداد خطا با افزایش نرخ نمونه‌برداری مقدار خطا تقریباً ۱,۴۷ درصد کاهش می‌باید و همچنین در روش فوریه نیم‌سیکل این نوع خطا، با افزایش تعداد نمونه‌برداری‌ها تقریباً ۰,۰۷ درصد کاهش یافته و چنین می‌توان استنباط نمود که در روش‌های پنجره ثابت در بازه زمانی قبل از رخداد خطا هیچ نیازی به افزایش تعداد نمونه‌برداری‌ها نمی‌باشد و در نتیجه باعث کاهش هزینه و فضای مورد نیاز می‌شود. در روش فوریه تمام‌سیکل با افزایش نرخ نمونه‌برداری‌ها چون محاسبات در یک سیکل انجام می‌شود، بنابراین باید انتظار محاسبه دقیقت را بشود. با توجه به جدول ۲ مشاهده می‌شود که با افزایش نرخ نمونه‌برداری تقریباً ۳۳ درصد کاهش میانگین خطا ایجاد شده است. بدین معنا که دقت محاسبه امپدانس تقریباً ۳ برابر شده است که این مقدار در رنج‌های مختلف، بخوبی نمایان است. ولی در روش فوریه نیم‌سیکل که یک نیم‌سیکل نسبت به روش فوریه تمام‌سیکل کاهش یافته است، با افزایش نرخ نمونه‌برداری درصد کمی از مقدار خطاها بوجود آمده کاهش می‌باید بگونه‌ای که به طور میانگین با توجه به جدول ۳ تقریباً به مقدار ۶,۳ درصد کاهش یافته است. پس نتیجه می‌شود که در روش‌های پنجره ثابت طبیعتاً بازه زمانی برای محاسبات مهم بوده و با افزایش بازه نمونه‌برداری و نرخ نمونه‌برداری، مقدار خطا بوجود آمده کاهش یافته و دقت محاسبه امپدانس بیشتر می‌شود.

در روش حداقل مربعات، کاهش خطا به‌ازای افزایش تعداد نمونه‌برداری در خطاها نوع اول و نوع سوم به طور قابل ملاحظه‌ای بوده است و در حدود ۹۰ درصد می‌باشد، ولی در خطا نوع دوم که مربوط به لحظه رخداد خطا می‌باشد، افزایش نمونه‌ها تاثیر مناسبی بر دقت ندارد ولی بطور کلی می‌توان با توجه به جدول ۳ این استنباط را نمود که در این روش با میانگین کاهش درصد خطا به میزان ۵۸ درصد یک مقدار قابل ملاحظه‌ای را به خود اختصاص داده است.

۲-۳ خطاهای ایجاد شده و تعریف شاخص برای هر خط

چند نوع خطا در تعداد نمونه‌های مختلف ایجاد می‌شود. برای دسته‌بندی دقیق‌تر خطاها شاخص‌های متفاوتی معرفی می‌شوند:

➤ خطای نوع ۱: خطای که بخارطه دیرتر برداشت نمونه‌های اول ایجاد می‌شود. این خطا به صورت یک پرس در لحظه خطا در نمودارها مشخص است. مقدار شاخص این خطا به صورت زیر تعیین می‌گردد:

$$first_error = \int_{t_0}^{t_1} |error| dt \quad (13)$$

که در رابطه بالا $error$ برابر دامنه خطا و t_0, t_1 مدت زمانی است که خطا تا ۵٪ بیشترین مقدار خود است. در واقع خطای بالا نشان می‌دهد که در لحظات اول رله چه خطای را می‌بیند.

➤ خطای نوع ۲: خطای که بعد از اتمام خطای ۱ پیش می‌آید. مقدار شاخص این خطا به صورت زیر تعیین می‌گردد:

$$second_error = \int_{t_1}^{t_1+T} |error| dt \quad (14)$$

که در رابطه بالا T فرکانس موج اصلی است. این خطا نشان دهنده این است که در مجموع در سیکل اول که سیکل مهمی می‌باشد مقدار خطای ایجاد شده چه مقدار می‌باشد.

➤ خطای نوع ۳: خطای که بعد از اتمام خطای ۲ پیش می‌آید. مقدار شاخص این خطا به صورت زیر تعیین می‌گردد:

$$third_error = \int_{t_1+T}^{t_1+5T} |error| dt \quad (15)$$

که در رابطه بالا T فرکانس موج اصلی است. در واقع این خطا، خطای ماندگار را برای رله نشان می‌دهد.

سه خطای تعریف شده در بالا برای تعداد نقاط نمونه‌برداری مختلف، برای روش‌های مختلف و برای قسمت حقیقی و موهوی امپدانس دیده شده در جدول ۱ آورده شده است.



اگر از دید دیگر به تحلیل نگریسته شود، برای بررسی نقاط بهینه در هر روش، این موازنۀ قرار داده می‌شود که در صورتی، افزایش تعداد نمونه‌ها به صرفه یا مناسب می‌باشد که حداقل با افزایش تعداد از یک سطح به سطح دیگر مقدار خطا حداقل ۱۰ درصد کاهش یافته باشد که این مطلب را در جدول ۴ می‌توان مشاهده نمود. در جدول ۴ روش‌های فوریه تمام‌سیکل و فوریه نیمسیکل در نمونه‌برداری با ۱۶ نمونه از ابعادی که مدنظر قرار داده شد، به حالت ایده‌آل خواهند رسید. بدین معنا که در روش‌های با پنجره ثابت با تعداد نمونه‌های ۱۶ اتایی به دقت مطلوب رسیده و هم در هزینه، سرعت، فضا و حافظه مورد نیاز به بهینگی دست یافته می‌شود.

در روش‌های با پنجره متغیر مقدار دقت و سرعت و تعداد نمونه‌ها موازنۀ دیگری را بهمراه دارد بگونه‌ای که در روش حداقل مربعات و پرودار ۷۰ خطای نوع اول نمونه‌برداری با ۲۰۰ نمونه به صورت ایده‌آل می‌باشد و در خطای نوع سوم، ۲۵۶ نمونه این امر را محقق می‌سازد و در روش حداقل مربعات با حذف DC و روش مان‌موریسون در خطای نوع سوم، ۱۰۰ نمونه در سیکل بهترین حالت را دربر دارد. می‌توان این نتیجه را گرفت که در روش‌های با پنجره متغیر برخلاف پنجره ثابت اگر تعداً نمونه‌ها با نرخ بالا باشد افزایش دقت و کاهش خطا، زمان، حافظه و هزینه مناسب را بهمراه دارد.

(۵) نتیجه‌گیری

در این مقاله ۶ روش مختلف محاسبه امپدانس در رله‌های دیستانس برای تعداد نمونه‌های مختلف در یک سیکل با هم مقایسه شد. با این مقایسه نشان داده شده است که در هر روش چه تعداد نقاط نمونه‌برداری می‌تواند موازنۀ بین پارامتر حجم مورد استفاده و زمان محاسبات را با پارامتر دقت برآورده کند. ضمناً مقایسه مربوطه بین روش‌های مذکور نیز انجام شده است. نتایج این مقاله کارائی رله‌های دیستانس را بدون طراحی‌های اضافی، بهبود می‌بخشد.

(۶) مراجع

[1] frequency: Khorashadi-Zadeh, H. Daneshi, H., "Evaluation and performance comparisons of digital distance protection algorithms", Industry Applications Conference, 2004. 39th IAS Annual Meeting. Conference Record of the

در روش مان‌موریسون و پرودار ۷۰ در خطای نوع اول با افزایش تعداد نمونه‌ها حدود ۸۰ درصد مقدار خطا کاهش یافته و خطای نوع سوم در مان‌موریسون دارای میانگین تقریبی ۹۰ درصد می‌باشد، بدین معنا که در این روش با افزایش تعداد نمونه‌ها قبل و بعد از خطا به سرعت مقدار دقت افزایش یافته ولی در لحظه رخداد خطا چون این روش با داشتن فقط ۳ نمونه بعد از خطا شروع به محاسبه امپدانس می‌نماید بنابراین تعداد کم نمونه‌ها در لحظه رخداد خطا باعث محاسبه دقیق امپدانس می‌شود. در بازه مربوط به خطای سوم در جهت رسیدن به پایداری مطلوب افزایش تعداد نمونه‌ها باعث افزایش دقت شده و حدود ۹۰ درصد خطا را کاهش می‌دهد.

در روش پرودار ۷۰ افزایش نرخ نمونه‌برداری در بازه انواع خطاهای، محاسبه امپدانس را دقیقتر نموده و حدود ۸۰ درصد به طور میانگین (جدول ۳) خطا را کاهش داده و در روش حداقل مربعات با حذف DC می‌توان دریافت که افزایش تعداد نمونه‌برداری‌ها حدود ۹۰ درصد (جدول ۳ و جدول ۱) خطا را کاهش داده و دقت محاسبه امپدانس را افزایش داده و بدین جهت می‌باشد که در این روش با افزایش تعداد نمونه‌برداری‌ها انتگرال مجدد خطاهای به مینیمم مقدار خود می‌رسد.

بطور کلی با تحلیل جدول ۲ در می‌یابیم که در این مقاله این نتیجه بدست آمده که با افزایش تعداد نمونه‌برداری‌ها در خطای نوع اول که حتی نیازی به افزایش نمی‌باشد در حدود ۵۷ درصد کاهش یافته است. در حین رخداد خطا که با کاهش خطا حتی در رنج یک‌هزارم باعث بهبود و تسريع عملکرد الگوریتم و محاسبه می‌شود، در حدود ۲۵ درصد کاهش یافته است. میانگین خطای نوع سوم با افزایش نرخ نمونه‌برداری حدود ۶۷ درصد کاهش یافته که این موضوع از این حیث حائز اهمیت می‌باشد که این نرخ کاهش در رسیدن به پایداری سریع و مطلوب برای جواب بهینه و محاسبه امپدانس نیاز می‌باشد و دقت را افزایش می‌دهد.

با بررسی جدول ۴ این نتیجه برداشت می‌شود که در تمام روش‌های محاسبه امپدانس افزایش نمونه‌ها باعث کاهش خطای محاسبه امپدانس دیده شده را بهمراه دارد بطوریکه در روش حداقل مربعات با حذف DC با این افزایش، بیشترین مقدار کاهش را به اندازه ۹۰ درصد داشته است.



انجمن مهندسین برق و الکترونیک ایران
شاخه‌ی تهران

the
اولین کنفرانس
1st PSPC Power System Protection & Control conference
Dec 20, 21th 2006
۸۵ و ۳۰ و ۲۹ آذر ۱۳۸۵
حفاظت و کنترل سیستم‌های قدرت



دانشگاه صنعتی امیرکبیر
قطب علمی قدرت

[4] LS & DC: M. S. Sachdev D. S. Ghotra T. S. Sidhu, "Design of a Distance Relay Using Adaptive Data Window Filters", 0-7a0~5957-71001.w0. 00 o 2000 IEEE.

[5] Mon Marison: BJ Mann, IF Morrison, "Digital calculation of impedance for transmission line protection", 1971 IEEE Trans. on Power Apparatus and Systems.

[6] Prodar: GB Gilcrest, GD Rockefeller, EA Udren, "High Speed Distance Relaying using a digital computer, Part I: System Description", 1972 IEEE Trans. on Power Apparatus and Systems.

2004 IEEE, Oct. 2004, vol.4, page(s): 2463 – 2468.

[2] LS & DC: Sanaye-Pasand, M., Davarpanah, M, "Performance evaluation of an extended adaptive distance relaying algorithm", Developments in Power System Protection, 2004. Eighth IEE International Conference, April 2004, vol.2, page(s):449 – 452.

[3] LS & DC: Tarlochan S. Sidhu et al., "An Adaptive Distance Relay and its Performance Comparison With a Fixed Data Window Distance Relay", 2002 IEEE Trans. on Power Delivery, vol.17, issue.3, July 2002, page(s): 691-697.



انجمن مهندسین برق و الکترونیک ایران
شاخه‌ی تهران

(۷) ضمیمه

جدول ۱ : خطاهای در انواع روشها با تعداد و نهای متفاوت

Type	FFT						Half Cycle FFT					
Index	R			X			R			X		
No_Sample	e1	e2	e3	e1	e2	e3	e1	e2	e3	e1	e2	e3
16	8.18957 4	0.00244084 7	0.08984 5	7.98919 7	0.00695 4	0.22334 2	9.07125 8	0.04132 5	0.43348 1	8.96812 6	0.02729 5	0.40785 5
32	8.12693 4	0.00145686 6	0.04445 7	7.92758 4	0.00680 5	0.22342 1	9.06365 3	0.03912 5	0.42427 3	8.97297 1	0.02389 7	0.41099 9
64	8.09612 5	0.00141923 7	0.04047 7	7.89732 7	0.00677 4	0.22343 3	9.06191 5	0.03833 6	0.42278 5	8.97185 5	0.02237 1	0.41079 9
100	8.08506 2	0.00144040 9	0.01866 6	7.88663 8	0.00676 4	0.20198 3	9.06076 3	0.03818 4	0.40055 2	8.96786 2	0.02070 9	0.38930 2
128	8.08013 9	0.00144703 9	0.02470 6	7.88174 3	0.00676 1	0.20783 4	9.06316 8	0.0382 7	0.40655 1	8.96547 6	0.02246 3	0.39518 7
200	8.07511 4	0.00145336 2	0.01877 1	7.87687 9	0.00675 4	0.20198 4	9.06376 9	0.03817 6	0.40051 4	8.96108 4	0.02291 7	0.38930 7
256	8.07212 9	0.00145513 0	0.01679 2	7.87395 9	0.00675 4	0.20003 4	9.06459 8	0.03818 7	0.39853 8	8.96438 2	0.02237 3	0.38740 3
300	8.07113 1	0.00145585 5	0.01879 3	7.87297 7	0.00675 8	0.20198 4	9.06380 3	0.03818 3	0.40052 4	8.96361 4	0.02197 6	0.38934 1
400	8.07013 9	0.00145672 3	0.01880 1	7.872 8	0.00675 4	0.20198 8	9.06356 8	0.03816 4	0.40054 5	8.96332 9	0.02302 2	0.38931 8
500	8.06914 4	0.00145711 1	0.01880 5	7.87102 4	0.00675 8	0.20198 4	9.06416 7	0.03816 8	0.40054 4	8.96271 1	0.02237 2	0.38936 2
%decay_of_error	1.47053 1	40.3030534 1	79.0694 1	1.47915 3	2.76238 9	9.56258 5	0.07816 4	7.63965 1	7.59822 3	0.06029 8	18.0238 8	4.53423 8
min	8.06914 4	0.00141923 5	0.01679 5	7.87102 4	0.00675 8	0.20003 4	9.06076 3	0.03816 4	0.39853 8	8.96108 9	0.02070 9	0.38740 3
min_number	500	64	256	500	500	256	100	400	256	200	100	256

Type	Man Morison						LS with Delete DC					
Index	R			X			R			X		
No_Sample	e1	e2	e3	e1	e2	e3	e1	e2	e3	e1	e2	e3
16	0.38068 5	0.01797999 8	0.06170 8	0.36798 9	0.00858 2	0.15651 4	1.80833 9	0.00528 9	0.15009 5	1.78518 9	0.0138 0.14924 6	
32	0.19405 1	0.02725080 3	0.04253 9	0.18528 7	0.01683 7	0.08798 6	0.90690 1	0.00711 9	0.06498 4	0.89288 4	0.01148 0.06445 5	
64	0.09978 8	0.02866679 5	0.03553 1	0.09867 3	0.01444 8	0.05528 6	0.45760 9	0.00519 9	0.03496 9	0.44818 3	0.00701 0.03445 6	
100	0.0667 1	0.02624743 6	0.00853 8	0.06945 1	0.01515 2	0.02225 2	0.29591 3	0.00593 3	0.00653 3	0.28752 9	0.00493 0.00648 3	
128	0.06993 9	0.02457201 1	0.01342 9	0.05594 1	0.01410 5	0.02370 5	0.22354 2	0.00434 2	0.01071 2	0.22443 4	0.00376 0.01054 3	
200	0.05349 7	0.02461216 3	0.00613 8	0.04328 3	0.01292 5	0.01232 8	0.14719 2	0.00138 2	0.00302 2	0.15405 5	0.00190 0.00297 8	
256	0.05591 6	0.02428885 4	0.00370 1	0.04442 3	0.01231 4	0.00831 5	0.11475 7	0.00209 6	0.00055 6	0.12136 3	0.00365 0.00055 6	
300	0.05976 2	0.02407352 2	0.00549 2	0.04729 2	0.01224 1	0.00923 1	0.09846 4	0.00102 4	0.00235 2	0.09184 2	0.00236 0.00231 9	
400	0.06397 7	0.02370836 7	0.00522 2	0.04899 8	0.01330 4	0.00779 1	0.06844 6	0.00222 8	0.00211 5	0.05113 4	0.00304 0.00207 4	
500	0.07122 8	0.02312478 6	0.00508 2	0.05570 5	0.01381 7	0.00698 1	0.08377 7	0.00130 9	0.00200 6	0.05939 4	0.00363 0.00196 7	
%decay_of_error	81.2894 1	28.6139558 3	91.7641 -	84.862 60.8697	95.5395 7	95.3675 8	75.2585 7	98.6637 3	96.6729 7	73.6431 1	98.6841 5	
min	0.05349 7	0.01797999 8	0.00370 4	0.04328 3	0.00858 9	0.00698 1	0.06844 6	0.00102 4	0.00055 6	0.05113 4	0.00190 0.00055 7	
min_num	200	16	256	200	16	500	400	300	256	400	200	256

Type	LS						Prodar70					
Index	R			X			R			X		
No_Sample	e1	e2	e3	e1	e2	e3	e1	e2	e3	e1	e2	e3
16	0.38068 5	0.026085 8	0.08200 8	0.36798 9	0.01682 2	0.08146 8	0.38068 5	0.00528 9	0.15009 5	1.78518 9	0.0138 0.14924 6	
32	0.19405 1	0.034939 2	0.04011 2	0.18528 7	0.02267 1	0.03947 6	0.19405 1	0.00711 9	0.06498 4	0.89288 4	0.01148 0.06445 5	
64	0.10991 5	0.023514 8	0.03092 2	0.10595 4	0.01734 3	0.03017 8	0.09978 9	0.00519 9	0.03496 9	0.44818 3	0.00701 0.03445 8	
100	0.06849 1	0.027801 3	0.00773 3	0.06989 3	0.02060 4	0.00756 4	0.06580 7	0.00593 3	0.00653 3	0.28752 9	0.00493 0.00648 3	
128	0.07091 3	0.025533 1	0.01351 9	0.05599 7	0.02070 8	0.01326 7	0.06903 7	0.00434 2	0.01071 2	0.22443 4	0.00376 0.01054 3	
200	0.05350 4	0.02564 7	0.00740 3	0.04515 3	0.01848 5	0.00735 2	0.05391 2	0.00138 2	0.00302 2	0.15405 5	0.00190 0.00297 8	
256	0.05592 1	0.025443 4	0.00539 4	0.04511 5	0.01754 3	0.00539 9	0.05640 2	0.00209 7	0.00055 6	0.12136 3	0.00365 0.00055 6	
300	0.05967 2	0.025337 5	0.00738 7	0.04710 8	0.01726 2	0.00735 2	0.06036 4	0.00102 4	0.00235 2	0.09184 2	0.00236 0.00231 9	



انجمن مهندسین برق و الکترونیک ایران
شاخه‌ی تهران

400	0.06377	0.025285	0.00738 2	0.04874 4	0.01740 1	0.00735 2	0.06518 2	0.00222 8	0.00211 5	0.05113 4	0.00304 4	0.00207 4
500	0.07093 3	0.025206	0.00738 2	0.05574 5	0.01735 9	0.00735 1	0.07172 9	0.00130 9	0.00200 6	0.05939 4	0.00363 7	0.00196 4
%decay_of_error	81.3669 6	3.367501	90.9987 5	84.851 3.20154	-	90.9763 4	81.1579 4	75.2585 7	98.6637 3	96.6729 7	73.6431 1	98.6841 5
min	0.05350 4	0.023514	0.00539 4	0.04511 5	0.01682	0.00539 9	0.05391 2	0.00102 4	0.00055 6	0.05113 4	0.00190 7	0.00055 6
min_num	200	64	256	256	16	256	200	300	256	400	200	256

در این جدول هر خانه خطاب مربوط به درصد بوجود آمده در آن نمونه و روش مورد نظر می‌باشد. در جدول بالا e1: درصد خطای نوع اول e2: درصد خطای نوع دوم e3: درصد خطای نوع سوم %decay_of_error: درصد کاهش خطای ۱۶ نمونه به ۵۰۰ نمونه min: مقدار خطای مینیمم در کل نمونه‌ها min_number: تعداد نمونه مربوط به مقدار خطای مینیمم

جدول ۲: مقایسه میانگین انواع خطاهای در انواع روشها

Error_1	FFT:R	FFT:X	Half Cycle FFT:R	Half Cycle FFT:X	LS:R	LS:X	average_e1	57.747
	1.470530	1.479153	0.078164	0.060298	81.366960	84.851000		
Man Morison:R	Man Morison:X	LS with Delet DC:R	LS with Delet DC:X	Prodar70:R	Prodar70:X			
	81.289413	84.861996	95.367582	96.672973	81.157945	84.308446		
Error_2	FFT:R	FFT:X	Half Cycle FFT:R	Half Cycle FFT:X	LS:R	LS:X	average_e2	25.455
	40.303053	2.762389	7.639651	18.023879	3.367501	-3.201542		
Man Morison:R	Man Morison:X	LS with Delet DC:R	LS with Delet DC:X	Prodar70:R	Prodar70:X			
	-28.613956	-60.869740	75.258573	73.643105	86.903797	90.244477		
Error_3	FFT:R	FFT:X	Half Cycle FFT:R	Half Cycle FFT:X	LS:R	LS:X	average_e3	67.091
	79.069410	9.562585	7.598223	4.534238	90.998750	90.976343		
Man Morison:R	Man Morison:X	LS with Delet DC:R	LS with Delet DC:X	Prodar70:R	Prodar70:X			
	91.764101	95.539571	98.663734	98.684145	69.217308	68.485731		

در این جدول هر خانه معرف میانگین کاهش هر خطای با افزایش تعداد نمونه‌ها در شاخص موردنظر و روش مربوطه می‌باشد و average_e بیانگر میانگین کلی خطای مربوطه در بین تمام روش‌ها می‌باشد.

جدول ۳: مقایسه میانگین کاهش خطاهای با افزایش نرخ نمونه برداری در انواع روشها

Type	FFT	Half Cycle FFT	LS	Man Morison	LS with Delet DC	Prodar70
R_avaerage_decay error	59.686	5.105	58.578	48.147	89.763	79.093
X_avaerage_decay error	6.162	7.539	57.542	39.844	89.667	81.013
Total average_e_decay error R&X	32.924	6.322	58.060	43.995	89.715	80.053
Ranking	5	6	3	4	1	2

در این جدول میانگین کاهش خطاهای طور جداگانه برای هر شاخص بدست آمده و میانگین کلی کاهش خطای هر روش محاسبه شده است و بر اساس آن روش‌ها رتبه بندی شده‌اند.



انجمن مهندسین برق و الکترونیک ایران
شاخه‌ی تهران

جدول ۴ : درصد کاهش خطای افزایش نمونه نسبت به تعداد نمونه قبل

Type	FFT						Half Cycle FFT					
	Index			R			X			R		
	No Sample	e1	e2	e3	e1	e2	e3	e1	e2	e3	e1	e2
32	0.765	40.313	50.518	0.771	2.079	-0.035	0.084	5.335	2.124	-0.054	12.433	-0.768
64	0.379	2.583	8.954	0.382	0.512	-0.005	0.019	2.020	0.351	0.012	6.387	0.047
100	0.137	-1.492	53.883	0.135	0.102	9.600	0.013	0.373	5.258	0.045	7.427	5.233
128	0.061	-0.460	-32.353	0.062	0.030	-2.897	-0.027	-0.034	-1.497	0.027	-8.466	-1.512
200	0.062	-0.437	24.023	0.062	0.030	2.815	-0.007	0.064	1.485	0.049	-2.024	1.488
256	0.037	-0.122	10.550	0.037	0.010	0.965	-0.009	-0.030	0.493	-0.037	2.380	0.489
300	0.012	-0.050	-11.928	0.012	0.005	-0.975	0.009	0.011	-0.498	0.009	1.770	-0.500
400	0.012	-0.060	-0.043	0.012	0.005	0.000	0.003	0.050	-0.006	0.003	-4.762	0.006
500	0.012	-0.027	-0.021	0.012	0.005	0.000	-0.007	-0.011	0.000	0.007	2.828	-0.011
Best No	16	32	32	16	16	100	16	16	16	16	32	16

Type	Man Morison						LS with Delte DC					
	Index			R			X			R		
	No Sample	e1	e2	e3	e1	e2	e3	e1	e2	e3	e1	e2
32	49.026	-51.562	31.064	49.648	-96.023	43.782	49.849	-34.593	56.705	49.984	16.809	56.813
64	48.576	-5.196	21.166	46.747	14.219	37.164	49.542	26.971	46.202	49.805	38.884	46.540
100	33.159	8.440	74.545	29.606	-4.903	59.752	35.335	-14.115	81.321	35.846	29.668	81.185
128	-4.857	6.383	-57.212	19.450	6.930	-6.531	24.457	26.814	-64.014	21.944	23.616	-62.625
200	23.509	-0.163	54.262	22.638	8.338	48.029	34.151	68.175	71.803	31.358	49.412	71.753
256	-4.521	1.314	39.658	-2.630	4.733	32.516	22.041	-51.732	81.594	21.221	-91.884	81.336
300	-6.879	0.887	-48.275	-6.462	0.583	-11.035	14.199	51.157	-323.070	24.324	35.256	-315.582
400	-7.053	1.517	4.919	-3.607	-8.680	15.600	30.484	-117.523	10.046	44.325	-28.506	10.228
500	-11.334	2.461	2.672	-13.688	-3.858	10.398	-22.388	41.255	5.191	-16.154	-19.480	5.296
Best No	64	16	100	32	64	100	400	16	100	400	200	100

Type	LS						Prodar70					
	Index			R			R			R		
	No Sample	e1	e1	e1	e1	e1	e1	e2	e3	e1	e2	E3
32	49.026	49.026	49.026	49.026	49.026	49.026	49.026	-34.593	56.705	49.984	16.809	56.813
64	43.358	48.576	48.576	48.576	48.576	48.576	48.576	26.971	46.202	49.805	38.884	46.540
100	37.688	34.053	34.053	34.053	34.053	34.053	34.053	-14.115	81.321	35.846	29.668	81.185
128	-3.538	-4.908	-4.908	-4.908	-4.908	-4.908	-4.908	26.814	-64.014	21.944	23.616	-62.625
200	24.550	21.908	21.908	21.908	21.908	21.908	21.908	68.175	71.803	31.358	49.412	71.753
256	-4.517	-4.617	-4.617	-4.617	-4.617	-4.617	-4.617	-51.732	81.594	21.221	-91.884	81.336
300	-6.708	-7.022	-7.022	-7.022	-7.022	-7.022	-7.022	51.157	-323.070	24.324	35.256	-315.582
400	-6.868	-7.985	-7.985	-7.985	-7.985	-7.985	-7.985	-117.523	10.046	44.325	-28.506	10.228
500	-11.233	-10.044	-10.044	-10.044	-10.044	-10.044	-10.044	41.255	5.191	-16.154	-19.480	5.296
Best No	200	200	200	200	200	200	200	16	100	400	200	100

در این جدول در هر خانه درصد کاهش خطای افزایش یک سطح نسبت به افزایش یک سطح نمونه‌های کمتر محاسبه شده است و اگر مقدار محاسبه کمتر از ۱۰ درصد کاهش خطای داشته باشد افزایش تعداد نمونه‌ها مرقوم به صرفه



انجمن مهندسین برق و الکترونیک ایران
شاخه‌ی تهران



نیست و در نتیجه بهترین تعداد نمونه‌ها در همان سطح بدست می‌آید و به عنوان تعداد بهینه در Best_No قرار داده شده است.